

Литература

- П.В. Бурков, С.П. Буркова, В.Ю. Тимофеев, А.А. Алёшкина, А.А. Ащеулова. Исследование состояния днища вертикального стального резервуара, анализ методик диагностики его состояния и выявления причин его деформации. // Вестник кузбасского государственного технического университета. – Кемерово, 2013. – № 4. – С. 79 – 81.
- О.В. Кононов. Развитие технологий и технических средств для борьбы с отложениями в нефтяных емкостях. – Уфа, 2010. – С 133-145.

МОДЕЛИРОВАНИЕ СВАРНОГО СОЕДИНЕНИЯ

А.О. Марков, М.А. Буховский

Научный руководитель профессор П.В. Бурков

Национальный исследовательский томский политехнический университет, г. Томск, Россия

Приведены основные допущения при моделировании сварного соединения. Показано, какие напряжения и перемещения возникают в предложенном соединении. Рассчитаны основные параметры рабочей сварной конструкции. Смоделировано сварное соединение.

Исходные данные моделируемого сварного соединения:

Труба D=1220 мм, Выксунского металлургического завода по ТУ 14-3-1573-99 из стали 09Г2С.

Таблица 1
Исходные данные

Температурный перепад Δt , °C	Рабочее давление P , МПа	Номинальная толщина стенки d_n , мм	Характеристики материала труб			Коэф. надежности по материалу K_1
			марка стали	временное сопротивление $R_{n1}=\sigma_{svr}$, МПа	предел текучести $R_{n2}=\sigma_t$, МПа	
±30	4,8	9;11;12;13;14;15;16	09Г2С	450	350	1,47

Расчет толщины стенки

Расчетное сопротивление металла трубы по пределу прочности на разрыв вычисляется [4]:

$$R_i = \frac{R_i'' \cdot m}{K_1 \cdot K_n} = \frac{450 \cdot 0,75}{1,47 \cdot 1,05} = 218,6 \text{ MPa}, \quad (1)$$

где m – коэффициент условия работы трубопровода, для II категории трубопровода (по табл. 1 СНиП 2.05.06-85*) принимается равным 0,75; K_n – коэффициент надежности по назначению трубопровода, в зависимости от давления и диаметра трубопровода (по табл. 11 СНиП 2.05.06-85*) принимается равным 1,05; R_i'' – предел прочности по ГОСТ 19281-89 равный 450 МПа;

K_1 – коэффициент надежности по материалу по СНиП 2.05.06-85* принимается равным 1,47.

Расчетное сопротивление металла трубы по пределу текучести [4]:

$$R_2 = \frac{R_2'' \cdot m}{K_2 \cdot K_n} = \frac{350 \cdot 0,75}{1,15 \cdot 1,05} = 217,3 \text{ MPa}, \quad (2)$$

где R_2'' – предел прочности по ГОСТ 19281-89 равный 350 МПа; K_2 – коэффициент надежности по материалу, учитывающий способ изготовления трубы и ее прочностные характеристики (по табл. 10 СНиП 2.05.06-85*) при R_2'' / R_i'' не больше 0,8 принимается равным 1,15.

В соответствии с безмоментной теорией расчета оболочных конструкций толщина стенки трубопровода вычисляется:

$$\delta = \frac{n_p \cdot P \cdot D_n}{2 \cdot (R_i + n_p \cdot P)} = \frac{1,15 \cdot 4,8 \cdot 10^6 \cdot 1220}{2 \cdot (218,6 \cdot 10^6 + 1,15 \cdot 3,5 \cdot 10^6)} = 11 \text{ mm}, \quad (3)$$

где n_p – коэффициент надежности по внутреннему давлению в трубопроводе (по табл. 13 СНиП 2.05.06-85*) принимаем равным 1,15; P – рабочее давление по условию равное 4,8 МПа.

Расчет на прочность стыкового шва (при врезке катушки).

Распределение напряжений по сечению становится неравномерным (рис.1). Зоны шва, сопрягаемые с основным металлом, испытывают концентрацию напряжений [2].

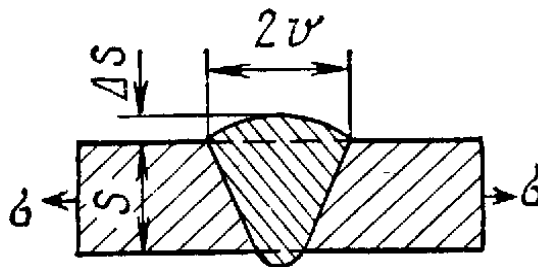


Рис. 1 Геометрия стыкового шва

Предполагаем, что сварное соединение не имеет дефектов, способных вызывать дополнительные напряжения, подвержено воздействию только внутреннего давления, смещение не предполагается. В результате процесса сварки шов имеет геометрическую форму согласно ГОСТ 16037-80: $\Delta S = 3 \text{ мм}; S = 11 \text{ мм}; 2v = 17 \text{ мм}$.

Концентрация напряжения, определяемая геометрией сварного шва, которая учитывается в расчетах как коэффициент концентрации формы:

$$m = U \cdot v = 0,14 \cdot 8,5 = 1,2; \quad (4)$$

$$U = \sqrt{(\Delta S + S) / (\Delta S^2 \cdot S)} = \sqrt{(3+11) / (3^2 \cdot 11)} = 0,14, \quad (5)$$

где S – толщина соединяемых элементов, мм; ΔS – утолщение в зоне шва, мм; v – полуширина шва, мм.

По теореме Лапласа найдем кольцевые и меридиональные напряжения:

$$\frac{P}{S} = \frac{\sigma_m}{\rho_m} + \frac{\sigma_t}{\rho_t}, \quad (6)$$

где P – рабочее давление равное по условию 4,8 Мпа; ρ_m – меридиональный радиус стремится к 0; ρ_t – срединный радиус равный 604,5 мм.

$$\sigma_t = \frac{P \cdot \rho_t}{S} = \frac{4,8 \cdot 10^{-6} \cdot 604,5}{11} = 200,4 \text{ МПа}; \quad (7)$$

$$\sigma_m = \frac{\sigma_t}{2} = 100,2 \text{ МПа}. \quad (8)$$

Проведем сравнения максимального напряжения с учетом коэффициента напряжения формы с предельным значением прочности для стали 09Г2С:

$$\sigma_t \cdot \alpha_\phi = 354,3 \text{ МПа} \geq [\sigma] = 350 \text{ МПа}. \text{ Условие прочности не выполняется.}$$

Из полученных в программе данных, при помощи математических расчётов, получаем следующие данные: максимальные перемещения в сварном шве равны $0,36 \cdot 10^{-9}$ см, максимальные перемещения в пришовной зоне $0,8 \cdot 10^{-10}$ см.

Построен график, отображающий распределение нагрузки в зоне шва в зависимости от удаления от оси сварного шва. Возможно нахождение значение нагрузки в задаваемых точках.

В зоне наибольших напряжений сделано сечение. По данным, полученным из программы, построен график, показывающий распределение перемещений по длине выбранного сечения.

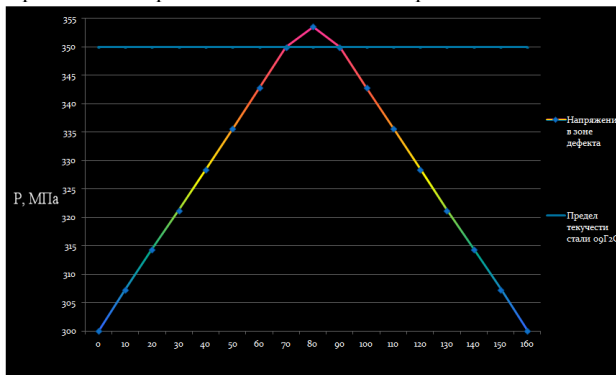


Рис. 2 График интенсивности напряжений в выбранном сечении

Выводы

Исходя из расчетных данных, напряжения, возникающие в стенке трубы при выбранных параметрах, превышают предел прочности материала (рис. 3). Поэтому, следует сделать вывод об усилении пришовной зоны,

а также осуществлять подбор материалов с большим пределом прочности, что позволит увеличить запас прочности материала на максимально допустимую нагрузку.

Литература

1. Андрей Алексин, Вадим Шелофаст , Ответственное сварное соединение: требуется расчет, САПР и графика 4`2007.
2. Вайншток С.М., Новоселов В.В.,Прохоров А.Д., Шаммазов и др. Трубопроводный транспорт нефти. Учебник для вузов: В 2 т. – М.: ООО "Недра–Бизнесцентр", 2004. – Т.2 – 621 с.
3. Горшков А.Г., Трошин В.Н., Шалашилин В.И. Сопротивление материалов: Учебное пособие. – М.: ФИЗМАТЛИТ, 2005 г. – 544 с..
4. Советченко Б.Ф. Специальные главы прочности: Учебное пособие. – Томск: Изд – во ТПУ,1998 г. – 88 с.
5. СНиП 2.05.06-85* «Магистральные трубопроводы».

**ИССЛЕДОВАНИЕ СОСТОЯНИЯ УЧАСТКА МАГИСТРАЛЬНОГО ГАЗОПРОВОДА
ПАРАБЕЛЬ – КУЗБАСС**

С.А. Кнауб

Научный руководитель профессор П.В. Бурков

Национальный исследовательский Томский политехнический университет, г. Томск, Россия

Протяженность магистральных газопроводов России по состоянию на 1.01.2006 составляет 151 тысяча километров. Большинство из них находится в эксплуатации свыше 20-30 лет, что подчеркивает актуальность задачи безаварийной эксплуатации и повышения надежности газотранспортных систем. Анализ дефекта металлов показывает, что разрушению в основном подвержены трубопроводы, изолированные полимерными ленточными покрытиями различных типов. Через 12-15 лет эксплуатации защитные качества такой пленки утрачиваются – и встает вопрос о её замене. Большая часть газопроводов России изолировано полимерными материалами. Наиболее оперативным и информативным методом диагностики трубопроводных систем магистральных трубопроводов в настоящее время является ВТД(внутритрубная диагностика). Применение внутритрубной диагностики позволяет обнаруживать все основные типы дефектов, ранжировки их по степени опасности и определению приоритета магистральных газопроводов для проведения идентификации поврежденных участков и вывода их в ремонт. Целью данной работы является: оценка данных полученных внутритрубным инспекционным прибором и данных дополнительного дефектоскопического контроля, определение типов дефектов преобладающих на данном участке, диагностике и получение достоверной информации о техническом состоянии газопровода. Основной задачей технологической диагностики линейной части магистральных газопроводов является своевременное выявление изменений её технического состояния: условий взаимодействия с окружающей средой, оценка остаточного ресурса газопровода, а также выбор наиболее эффективных способов ремонта и мероприятий для обеспечения безопасной эксплуатации и надежной работоспособности линейной части магистральных газопроводов. В соответствии с ГОСТ дефекты разделяют на явные и скрытые, а также критические, значительные и малозначительные. Такое разделение дефектов проводят для последующего выбора вида контроля качества продукции. При любом методе контроля о дефектах судят по косвенным признакам, свойственным данному методу. Специалистами филиала «Саратовоградиагностика» были проведены работы по внутритрубной дефектоскопии магистрального газопровода «Параиль-Кузбасс» I – нитка D=1020 мм. Обследование проводилось в соответствии с технологией, определяемой «Руководством по эксплуатации и обслуживанию диагностического комплекса «Крот-1000» и «Инструкцией по пропуску очистных устройств» разработанной ООО «Газпром трансгаз Томск». Для очистки внутренней полости трубы от загрязнений был произведен пропуск очистного скребка. Время в пути 5 час 57 мин, средняя скорость движения 13,9 км/час. Для определения коррозионного состояния полости трубы была произведена запасовка и пропуск снаряда – дефектоскопа «КРОТ – 1000». Время в пути 11 час 21 мин, средняя скорость движения 7,3 км/час. Для подтверждения данных коррозионного обследования полости трубы, выявления продольно-ориентировочных дефектов была произведена запасовка и пропуск универсального магнитного дефектоскопа «УМД – 100». Время в пути 11 час 15 мин, средняя скорость движения 5,7 км/час. Коррозионное обследование: запись информации произведена по всей длине обследуемого участка. Процентное соотношение количества дефектов на обследуемом участке газопровода позволило выявить:

1.Основными дефектами магистрального газопровода является коррозионное повреждение тела трубы. В некоторых местах коррозии превышает 50% от толщины стенки трубы.

2. Максимальное процентное расположение коррозионных дефектов по окружности трубы приходится от 4 до 8 часов, что говорит о причине их возникновения:

- повреждение изоляционного покрытия в результате нарушения укладки технологии трубопровода в траншею;
- повреждение изоляционного покрытия под весом тяжести самого трубопровода;
- отслаивание изоляционного покрытия и скапливания воды в нижней части образующей трубопровода.

Дополнительный дефектоскопический контроль в шурфах проводился специалистами Центра диагностики Инженерно-технического центра ООО «Томсктрансгаз». При визуальном и измерительном контроле применялся «АРШИН» -комплект для визуального и измерительного контроля. В результате